

127

U. Nestle; J. Kotzerke\*  
PTV – PET traced volume?

## Original Articles – Originalarbeiten

131

O. Lindner; W. Burchert; F. M. Bengel; R. Zimmermann; J. vom Dahl;  
W. Schäfer; O. Schober; M. Schäfers\*

*Myocardial perfusion scintigraphy 2007 in Germany –  
Results of the query and current status*

Myokardperfusionsszintigraphie 2007 in Deutschland –  
Ergebnisse der Erhebung und Standortbestimmung



138

F. A. Verburg; R. B. T. Verkoijen; M. P. M. Stokkel; J. W. Van Isselt  
*The success of  $^{131}\text{I}$  ablation in thyroid cancer patients is significantly reduced  
after a diagnostic activity of 40 MBq  $^{131}\text{I}$*

Die Gabe einer diagnostischen Aktivität von 40 MBq  $^{131}\text{I}$  mindert bei  
Schilddrüsenkarzinom-Patienten den Erfolg der Radioiodablation



N19

Gabe einer diagnostischen Aktivität bei Schilddrüsenkarzinom-Patienten  
und Erfolg der Radioiodablation

144

P. Theissen; M. Schmidt; T. Ivanova; M. Dietlein; H. Schicha  
*MIBI scintigraphy in hypofunctioning thyroid nodules –  
Can it predict the dignity of the lesion?*

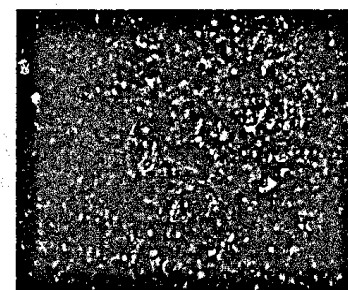
MIBI-Szintigraphie kalter Schilddrüsenknoten –  
Kann sie die Dignität kalter Knoten vorhersagen?



153

P. Liu; G. Huang; S. Dong; L. Wan  
*Kinetic analysis of experimental rabbit tumour and inflammation model  
with  $^{18}\text{F}$ -FDG PET/CT*

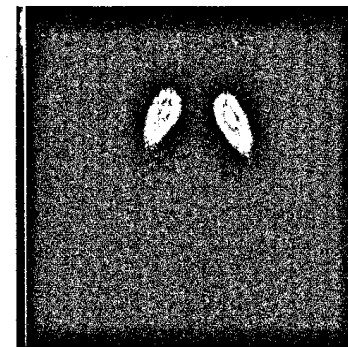
Kinetische Analysen eines experimentellen Kaninchen-Tumor-  
und Entzündungsmodells mit  $^{18}\text{F}$ -FDG PET/CT



159

A. Seret; C. Vanhove; M. Defrise  
*Resolution improvement and noise reduction in human pinhole SPECT using  
a multi-ray approach and the SHINE method*

Verbesserte Auflösung und geringeres Bildrauschen bei der Einzelphotonen-  
Emissions-Tomographie (SPECT) mit Pinhole-Kollimator am Menschen unter  
Verwendung des Mehrstrahl-Ansatzes und der SHINE-Methode



166

A. Orero; S. Vidal-Sicart; N. Roé; A. Muxí; S. Rubí; J. Duch; R. Rull; N. Pavón;  
F. Pons; J. Pavia  
*Monitoring system for isolated limb perfusion based on a portable gamma  
camera*

Monitoring zur isolierten Extremitätenperfusion mit Hilfe einer tragbaren  
Gamma-Kamera

173

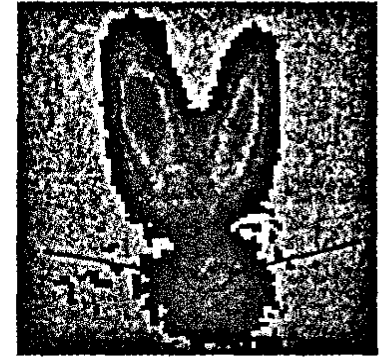
I. Goethals; H. Ham; A. Dobbeleir; P. Santens; Y. D'Asseler  
*The potential value of a pictorial atlas for aid in the visual diagnosis  
of  $^{123}\text{I}$  FP-CIT SPECT scans*

Potenzieller Nutzen eines Bildatlas zur Unterstützung der visuellen  
Diagnostik von  $^{123}\text{I}$  FP-CIT-SPECT-Scans

\*Article written in German.

## Case Reports

- N21 M. Apaydin; M. Varer; A. Sarsilmaz; G. Coskun; S. Yildiz; H. Akin  
*Ectopic thyroid tissue in the neck region*
- N24 R. A. Khan; J. K. Mahajan; K. L. N. Rao  
*Thyroglossal duct cyst in children*



## Nachruf

- N27 Prof. Dr. Herbert Vetter

## Laudatio

- N29 Professor Wilhelm Finck zum 80. Geburtstag

## Verbandsnachrichten

- N30 Nachrichten der Österreichischen Gesellschaft für Nuklearmedizin
- N31 Nachrichten der Deutschen Gesellschaft für Nuklearmedizin



## Verschiedenes

- IV Forum rhTSH
- V Aus Forschung und Industrie
- VI Termine

## On the cover

*Maximum intensity projection views of a phantom; see related article of Seret et al. beginning at page 159.*